



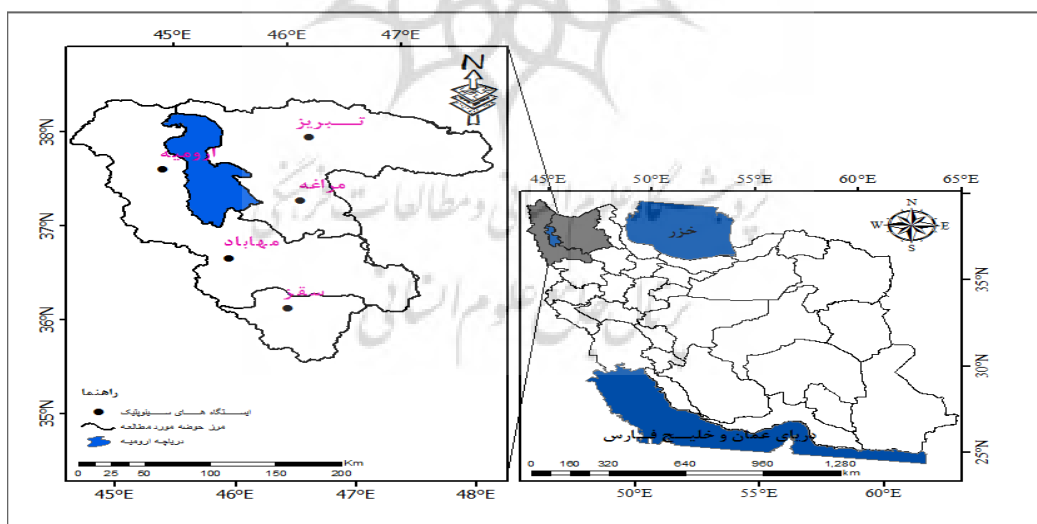




۲۰۰۹ شدیدترین خشکسالی آذربایجان غربی در تکاب در طی این ۲۰ سال رخ داده است. همچنین طولانی‌ترین تداوم خشکسالی نیز در جنوب استان و در ایستگاه تکاب با مدت تداوم ۷ سال به وجود پیوسته است. تیوما و همکاران (Touma and et al, ۲۰۰۹)، در تحقیقی به بررسی ارتباط بین خشکسالی و تغییرات دما، بارش و رطوبت خاک با استفاده از چهار شاخص ارزیابی: <sup>۱</sup>(SPI)، <sup>۲</sup>(SEPI)، <sup>۳</sup>(ERI) و <sup>۴</sup>(SMDI)، مناطق مختلف جهان پرداخته‌اند. و به این نتیجه رسیده‌اند که احتمال افزایش خشکسالی‌های استثنایی مشخص شده است و افزایش خطر ابتلا به تنفس ناشی از خشکسالی برای سیستم‌های طبیعی و انسانی ناشی از غلظت گازهای گلخانه‌ای به وجود خواهد آمد. مطالعه سوابق تحقیق نشان می‌دهد که پدیده خشکسالی در مناطق مختلف جهان با شرایط متفاوتی رخ می‌دهد. در زمان‌های مختلف خشکسالی در ایران یکی از مسائلی بوده که باعث بروز خسارات و مشکلات شده است. این پدیده در ایران به طور کامل شناسایی نشده و هنوز نواحی مختلف کشور، از جمله حوضه دریاچه ارومیه نیازمند مطالعه و بررسی است. شناخت و پیش‌بینی موفق این رخداد می‌تواند کمک زیادی به بهبود زندگی این مناطق نماید و در مقابله با این پدیده و کاهش خسارات حاصل از آن کارساز باشد. با توجه به تعبانی که وجود خشکسالی در حوضه‌ی دریاچه ارومیه از ابعاد مختلف بررسی و امکان پیش‌بینی آن ارزیابی شود.

## داده‌ها و روش کار

روش به کار رفته در این پژوهش، ترکیبی از مطالعات کتابخانه‌ای و تجربه و تحلیل‌های آماری است. داده‌های مورد استفاده مقدار بارندگی به صورت ماهانه در ایستگاه‌هایی حوضه دریاچه ارومیه است که از سازمان هواشناسی کشور اخذ گردید. در شکل (۱) موقعیت منطقه و ایستگاه‌های مورد مطالعه استفاده ذکر شده است.



شکل (۱): موقعیت منطقه و ایستگاه‌های مورد مطالعه

· ( SPI: Standardized Precipitation Index)

· (ERI: Effective Rain Fall Index)

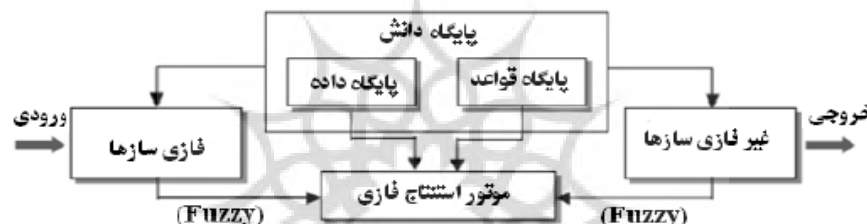
· ترکیب شاخص‌های SPI (شاخص بارش استاندارد) و SEI (شاخص تبخیر و تعرق استاندارد) براساس قواعد در سیستم استنتاج فازی (SEPI)

· (SMDI: Soil Moisture Drought Index)

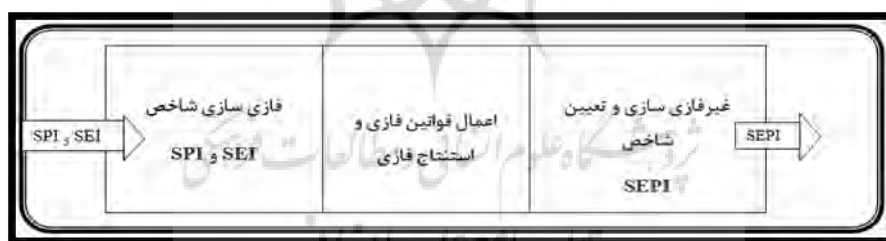
در این پژوهش از داده‌های ماهانه دما و بارش ایستگاه‌های ارومیه، تبریز، سقز، مراغه و مهاباد در دوره آماری ۱۹۸۵-۲۰۱۴ استفاده شده است، برای بررسی همگنی داده‌ها از روش آزمون ران استفاده شد و تصادفی بودن و همگنی داده‌ها در سطح اطمینان ۹۵ درصد مورد تایید قرار گرفت.

**شاخص فازی SEPI<sup>۵</sup>**: شاخص تبخیر و تعرق و بارندگی استاندارد شده (SEPI) برای رفع قسمتی از معایب شاخص SPI ارائه شده است (انصاری و همکاران، ۱۳۸۹، ۴۰). شاخص تبخیر و تعرق و بارندگی استاندارد شده از تلفیق شاخص SPI و SEI حاصل می‌شود. این شاخص نتیجه معماری مدل فازی پایش خشکسالی است که با استفاده از منطق فازی در یک سیستم استنتاج فازی طراحی می‌شود. نحوه طراحی این مدل و تعیین شاخص SEPI در ادامه شرح داده شده است.

**معماری فازی پایش خشکسالی**: برای مشتق‌سازی شاخص‌های SPI و SEI با استفاده از سیستم استنتاج فازی، با توجه به ساختار مدل‌های فازی شکل (۲)، ساختار مدل فازی پایش خشکسالی به صورت شکل (۳) در نظر گرفته شد.



شکل ۲: سیستم استنتاج فازی (سلاجقه و فتح آبادی، ۱۳۸۸)



شکل ۳: مدل فازی پایش خشکسالی در تحقیق حاضر (مأخذ: نگارندگان)

بعد از تعیین ساختار مدل فازی، برنامه رایانه‌ای مربوط به محیط نرم‌افزار MATLAB طراحی می‌شود و با استفاده از این برنامه فایل‌های ورودی یعنی مقادیر شاخص SPI و شاخص SEI خوانده شده و مقادیر SEPI در فایل خروجی ارائه می‌گردد. طراحی مدل فازی پایش خشکسالی در تحقیق حاضر بر محورهای زیر استوار است:

<sup>۵</sup> ترکیب شاخص‌های SPI (شاخص بارش استاندارد) و SEI (شاخص تبخیر و تعرق استاندارد) براساس قواعد در سیستم استنتاج فازی (SEPI).

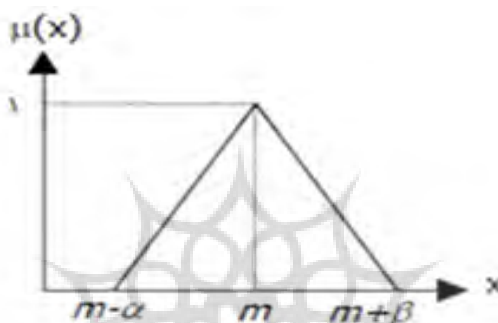




$$\mu_A(x) = \begin{cases} \frac{x-1}{m-1} & 1 < x < m \\ 1 & x = m \\ \frac{u-x}{u-m} & m < x < u \\ \cdot & \text{در غیر اینصورت} \end{cases}$$

رابطه(۱): تابع عضویت فازی

در بعضی از مراجع عدد فازی مثلثی A را با سه تایی مرتب  $(m, \alpha, \beta)$  نمایش می‌دهند. شکل (۶) که  $m$  را مقدار میانه و  $\alpha$  و  $\beta$  را به ترتیب پهنه‌ای چپ و پهنه‌ای راست عدد می‌نامند. در این صورت تابع عضویت عدد فازی A به صورت رابطه (۲) است.



شکل ۶: نمایش اعداد مثلثی (وجهه دوم)

$$\mu_A(x) = \begin{cases} \frac{x-(m-\alpha)}{\alpha} ; & m-\alpha \leq x \leq m \\ \frac{(m+\beta)-x}{\beta} ; & m \leq x \leq m+\beta \end{cases}$$

رابطه(۲): تابع عضویت

یکی از راههایی که می‌توان واژه‌های زبانی را در یک اسلوب منظم، به اعداد فازی متناظر با آنها تبدیل کرد استفاده از جدول تبدیل ارایه شده است. در این راستا، مطابق با جدول (۲) به تناسب ارزش‌های دو گانه تا ۱۱ گانه می‌توان یکی از مقیاس‌های تبدیل واژه‌های زبانی به اعداد فازی را انتخاب کرد (صفری و همکاران، ۱۳۸۲: ۱۵۶).



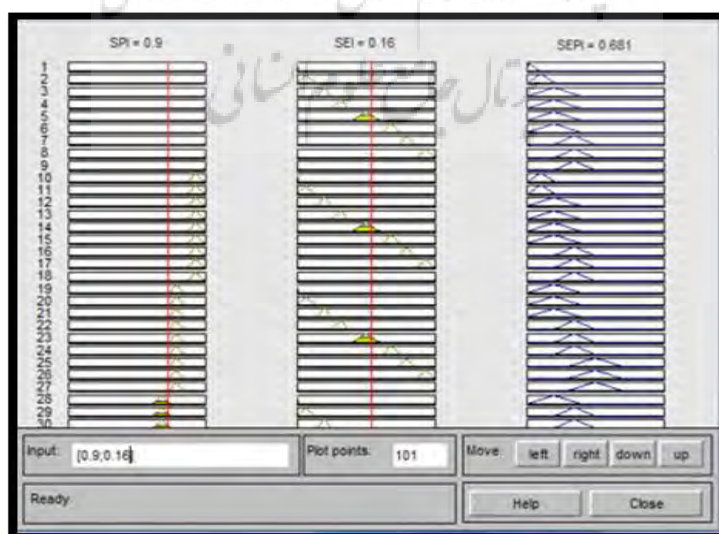


تعیین قواعد جهت تلفیق شاخص های SPI و SEI: طبقات مختلف شاخص SPI و SEI بر پایه قواعد یا همان ترکیبی از گزاره های شرطی در قالب اگر، که به یک طبقه از شاخص SEPI در قالب آن گاه منتهی شود، تعریف می شود. این قاعده فقط یک ترکیب از حالت های مختلف شاخص های SPI و SEI را که به شاخص SEPI منتهی می شوند، نشان می دهد. در همین راستا، به تناسب صورت مختلف ترکیبی می توان قواعد متوالی را نوشه و در پایگاه دانش ذخیره کرد. با توجه به این که در خروجی حاصل از برآیند ترکیب، شاخص های SPI و SEI در تعیین وضعیت SEPI دلالت داده شود، وزن هر کدام از شاخص ها با توجه به تأثیر پارامتر بارندگی و درجه حرارت بر شدت خشکسالی مدنظر قرار گرفت در نتیجه شاخص های SPI و SEI به ترتیب با وزن های  $0.667$  و  $0.333$  در محاسبات دلالت داده شدند. برای نوشتن قاعده در محیط MATLAB از به عنوان الگوی راهنمای رابطه (۵) در عطف به داده های این جدول استفاده شد (افروز و همکاران، ۱۳۹۰). جدول مذکور حامل عناصری است که به کمک آن می توان قاعده ای را که منعکس کننده شرایط خشکسالی است، تعریف کرد.

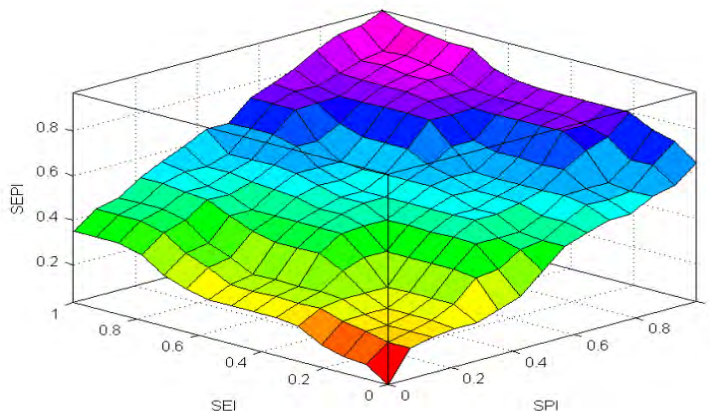
**IFF    SPI.is.WH.AND.SEI.is.WS.    THEN.SEPI.is.WA**

رابطه (۵) نمونه قاعد وارد شده در جدول قوانین

وارد کردن قواعد فازی در محیط متلب (MATLAB): بعد از تدوین قواعد مورد نظر برای وارد کردن این قواعد در محیط MATLAB در قالب پایگاه دانش فازی و سیستم استنتاج فازی از جعبه ابزار Fuzzy logic استفاده می کنیم. در مرحله بعد می توان با استفاده از ابزارهای نمایشگر قاعده (Rule Viewer) با وارد کردن مقدار شاخص های SPI و SEI مقدار شاخص SEPI را به دست آورد. به عنوان مثال در شکل (۸) در قسمت INPUT با وارد کردن مقدار شاخص های SPI و SEI که به ترتیب  $0.9$  و  $0.16$  می باشد، شاخص SEPI به مقدار  $0.681$  به دست آمده است در نمایشگر (Surface Viewer) نیز به تناسب تغییرات مقادیر شاخص های ورودی SPI و SEI می توان فراز و فرودهای سطوح شاخص SEPI را در یک نمای گرافیکی دنبال کرد (شکل ۹).



شکل ۸: نمایی از Rule Viewer در محیط MATLAB



شکل ۹: نمایی از Surface Viewer در محیط MATLAB

پس از این‌که شاخص فازی SEPI به طریق بیان شده به دست آمد، نحوه تاثیر دما و بارندگی در خشکسالی ایستگاه‌های مورد مطالعه، بررسی شد. سپس به پایش خشکسالی پرداخته می‌شود. در پایش خشکسالی بر اساس شاخص SEPI، روند، شدت تداوم و درصد فراوانی وقوع خشکسالی را مورد بررسی قرار می‌گیرد. روند شاخص‌های مورد بررسی با روش روند خطی تعیین می‌شود. برای به دست آوردن درصد فراوانی وقوع خشکسالی در طبقات مختلف، از رابطه Frequency استفاده شد.

بخش دوم روش‌یابی پیش‌بینی در انفیس با استفاده از کد نویسی در محیط متلب: در این روش نیز از SEPI ایستگاه تبریز در مقیاس ۱۲ ماهه استفاده شده است که برای بدست آوردن توابع عضویت تولید شده توسط Genfis، کل فضای ورودی را پوشش می‌دهند. می‌توان با استفاده از دستورات زیر، توابع عضویت ورودی را رسم کرد:

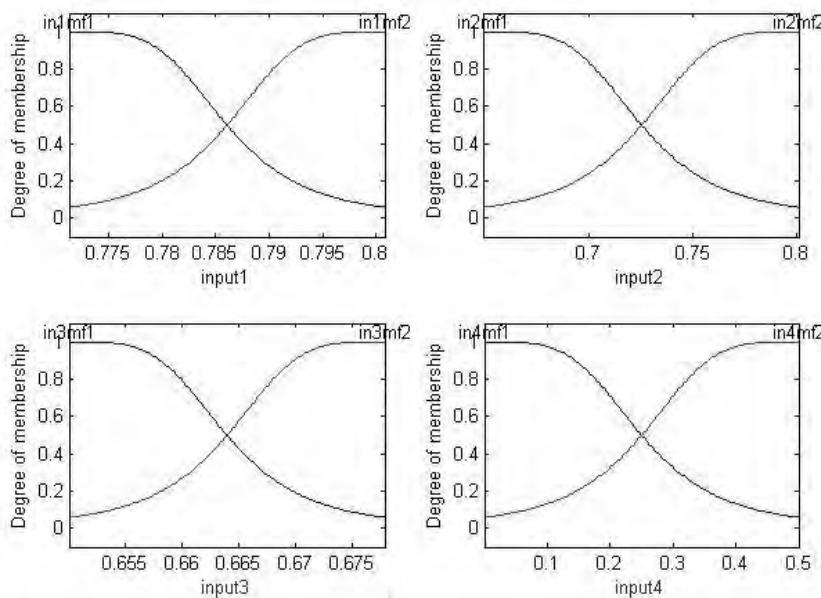
Figure(۲)

```

Subplot (۲, ۲, ۱)
Plotmf (fismat,'input', ۱)
Subplot (۲, ۲, ۲)
Plotmf (fismat,'input', ۲)
Subplot (۲, ۲, ۳)
Plotmf (fismat,'input', ۳)
Subplot (۲, ۲, ۴)
Plotmf (fismat,'input', ۴)

```

پس از اجرای دستورات بالا، نمودارهای شکل‌های، شکل (۱۰) نمایش داده می‌شود.



شکل ۱۰: توابع عضویت ورودی ایستگاه تبریز در دوره ۱۲ ماهه

برای شروع روال آموزش دستور زیر را اجرا می‌کنیم:

```
[fismat1, error1, ss, fismat2, error2]=anfis (trnData, fismat, [],[], chkData);
```

از آن جا که داده‌های وارسی به این تابع ارسال شده‌اند، Fis نهایی متناظر با کمترین خطای روی مجموعه وارسی خواهد بود. نتیجه در Fismat2 دخیره می‌شود. با اجرای دستورات زیر می‌توان تابع عضویت جدید به دست آمده را رسم می‌کنیم:

Figure (۳)

Subplot (۲, ۲, ۱)

Plotmf (fismat2,'input', ۱)

Subplot (۲, ۲, ۲)

Plotmf (fismat2,'input', ۲)

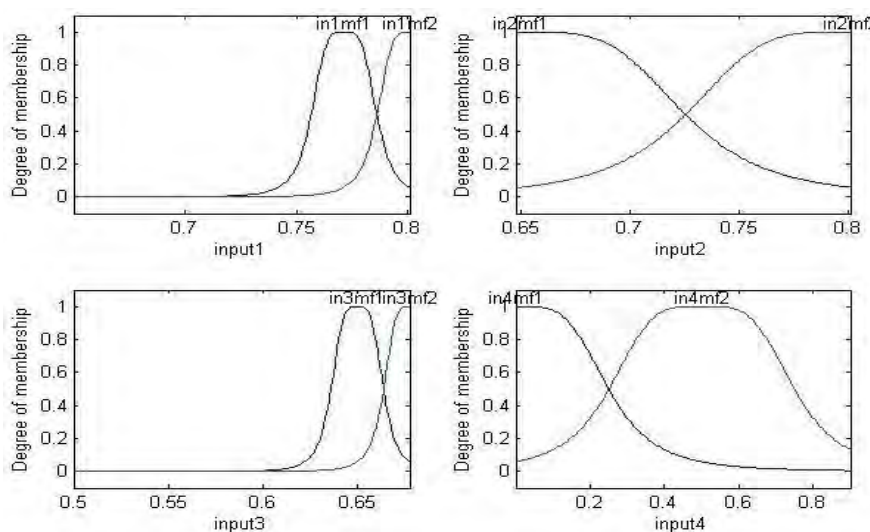
Subplot (۲, ۲, ۳)

Plotmf (fismat2,'input', ۳)

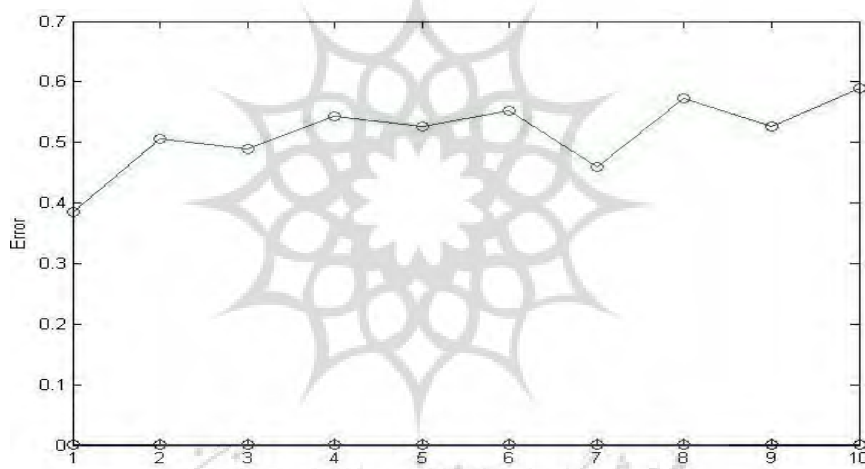
Subplot (۲, ۲, ۴)

Plotmf (fismat2,'input', ۴)

نمودارهای حاصل به صورت شکل (۱۱) خواهد بود.



شکل ۱۱: توابع عضویت جدید پس از آموزش در دوره ۱۲ ماهه



شکل ۱۲: نمودار خطای ایستگاه تبریز در دوره ۱۲ ماهه

همچنین برای رسم نمودارهای خطای دستورهای زیر استفاده می‌کنیم:

Figure (۵)

Plot ([error1 error2])

Hold on

Plot ([error1 error2], 'o')

در نمودار شکل (۱۲) جذر میانگین مربعات خطاهای رسم شده است. منحنی بالایی شکل بالا مربوط به خطاهای آموزشی (Error1) و منحنی پایین مربوط به خطاهای داده‌های وارسی (Error2) و جدول (۳) میانگین خطای آموزش و میانگین خطای اعتبارسنجی مدل‌سازی به درصد ایستگاه تبریز در مقیاس ۱۲ ماهه نشان می‌دهد. و برای به‌دست آوردن و درست کردن سری‌های زمانی و پیش‌بینی و همچنین میانگین‌های خطاهای از دستورهای زیر به دست می‌آید:

```
anfis_output=evalfis ([trnData (: ۱:۴); chkData (: ۱:۴)], fismat۲)
```

Figure (۴)

```
Plot ([sepi; anfis_output]);
avg1=sum (error1)/numel (error1);
avg1=vpa (avg1)
avg2=sum (error2)/numel (error2)
```

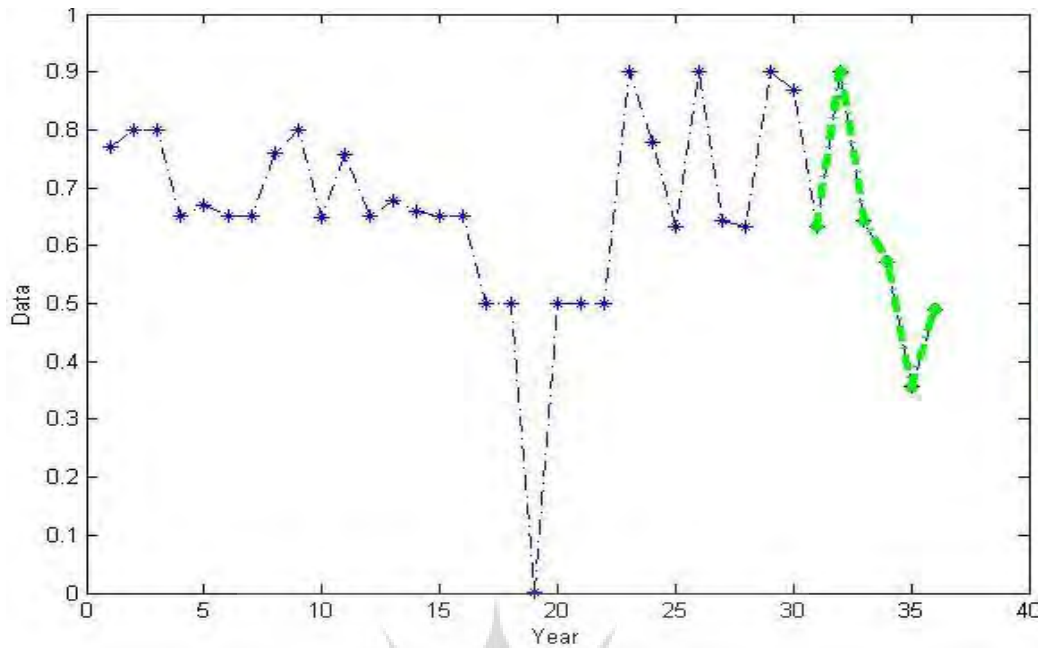
جدول ۳: میانگین خطای آموزش و میانگین خطای اعتبارسنجی مدل سازی به درصد ایستگاه تبریز در مقیاس ۱۲ ماهه (ماخذ: نگارندگان)

میانگین خطای اعتبارسنجی، داده وارسی	میانگین خطای آموزشی
۱/۵۷۶۲	۰/۵۱۴۹

در شکل (۱۳) مقدار پیش‌بینی شده برای ۶ سال آینده، با رنگ سبز و مقدار مشاهده شده شده با رنگ خط ستاره گونه آبی رنگ قابل مشاهده و مقدار پیش‌بینی شده برای سال‌های آینده در جدول (۴) برای ایستگاه تبریز در مقیاس ۱۲ ماهه به دست آمده است.

جدول ۴: مقدار پیش‌بینی به دست آمده از مدل سازی Sepi به درصد، ایستگاه تبریز در مقیاس ۱۲ ماهه برای ۶ سال آینده

سال‌های آینده	مقدار پیش‌بینی شده
۲۰۱۵	۰/۶۳۳۳
۲۰۱۶	۰/۹۰۰۲
۲۰۱۷	۰/۶۴۳۱
۲۰۱۸	۰/۵۷۲۴
۲۰۱۹	۰/۳۵۵۷
۲۰۲۰	۰/۴۹۰۴



شکل ۳: سالهای مشاهده شده و سالهای پیش‌بینی برای ۶ سال آینده ایستگاه تبریز در دوره ۱۲ ماهه

به این ترتیب می‌توان شاخص خشکسالی SEPI را برای ایستگاه‌های مورد مطالعه پیش‌بینی نموده و توان مدل شبکه عصبی-فازی Anfis را در مدل‌سازی و پیش‌بینی روند تغییرات سری زمانی شاخص ذکر شده مورد ارزیابی قرار داد.

### شرح و تفسیر نتایج

پایش خشکسالی به تفکیک ایستگاه‌ها: براساس شاخص SPI (که شدت طبقات در حد فواصل ۰-۲ تا +۲ قرار دارد) خشکسالی برای مقیاس ماهانه به این صورت تعریف می‌شود: دوره‌ای که SPI دائمآ منفی باشد و به مقدار ۱- و کمتر برسد و زمانی پایان می‌پذیرد که SPI مثبت شود. با توجه به این که طبقات خشکسالی شاخص SEPI تقریباً مشابه شاخص SPI می‌باشد اما طبقات آن بین ۰ و ۱ قرار دارد بعد این که مقادیر طبقات خشکسالی شاخص SPI در حد فاصل ۰ تا ۱ قرار بگیرد، مقادیر منفی اعداد بین ۰/۵ تا ۱ خواهد بود و ۱- هم معادل ۷۳/۰ خواهد شد (در نمودار ۱۰ خط فلش قرمز رنگ مقطع مرز خشکسالی با مقدار ۷۳/۰ و بیش‌تر را نشان می‌دهد). بنابراین در شاخص SEPI می‌توان خشکسالی برای مقیاس ماهانه را به این صورت تعریف کرد: دوره‌ای که SEPI دائمآ بیش‌تر از ۵/۰ و به مقدار ۷۳/۰ و به بیش‌تر برسد و زمانی پایان می‌پذیرد که SEPI کمتر از ۵/۰ شود. بر اساس اعداد فازی مورد استفاده در عطف به متغیرهای زبانی، طبقات خشکسالی و ترسالی در شاخص SEPI و مقادیر آن‌ها در جدول (۵) مشخص شده است. شدت خشکسالی براساس مقادیر طبقات مشخص شده در این جدول بررسی می‌شوند.















- Jain, v., R. Pandey, M. Jain and H-R. Byun. . Comparison of drought indices for appraisal of drought characteristics in the Ken River Basin. Weather and Climate Extremes, ۱۰: - .
- keta T.B and N.J Doesken. . The relationship of drought frequency and duration to time scales. Eight Conference on Applied Climatology, Anaheim. CA. American Meteorological Society. ۱۷۹: - .
- Methods for Spatial Analysis of SPI and EDI Drought Indices. World Applied Sciences Journal ۱۰ (۴): - .
- Morid, S., V. Smakhtinb, and K. Bagherzadehc. . Drought forecastingusing artificial neural networks and time series of drought indices. Int. J. Climatol, ۲۷: - .
- Moreira, E., A. Coelho, A. Paulo, S. Pereira and T. Mexia. . SPI-based drought category prediction using loglinear models. Journal of Hydrology, ۳۵۴: - .
- Mo, K.C. . Model-based drought indices over the United States. J. Hydrometeorol, ۱۰: - .  
<http://dx.doi.org/10.1175/2008JHM1002.1>.
- Niranjana .Kumar; k. N. Rajeevan, M. Pai, D. S. Sivastava, A.K., and B. Preethi. . On the observed variability of monsoon droughts over india. weather and climate extremes, ۱: - .
- Peters, E; G. Bier, H. A. Lanen, and P, Torfs. . Propagation and spatial distribution of drought in a groundwater catchment. Journal of Hydrology, ۳۲۱: - .
- Palmer,W.C. . Research Iranian Journal of Irrigation and DrainageNo. Meteorological drought, , Vol. , Winter. ۱۰, p. - .
- Spinoni, j; G. Naumann, j. vogt and P. Barbosa. . The biggest drought events in Europe from - . journal of hydrology: Regional, ۴: - .
- Stairs, G. and H. Vangelis. . Towards a Drought Watch System based on Spatial SPI. Journal of Water Resources Management, ۱۸: - .
- Wang, L and W. Chen. . A CMIP multimodel projection of future temperature, precipitation, and climatological drought in China. Int. J. Climatol, ۳۴: - . <http://dx.doi.org/10.1002/joc.3822>.
- Wilhite, D.A. . Drought: A Global Assessment, Rout ledge Press. London and NewYork. Volume I.
- Touma, D; M. Ashfaq, M. Nayak, S-C. Kao and N. Diffenbaugh. . A multi-model and multi-index evaluation of drought characteristics in the st century. Journal of Hydrology, ۵۲۶: - .
- Zhao, M and S.W, Running. . Drought-induced reduction in global terrestrial net primary production from through . Environmental Science, ۳۲۹: - .